

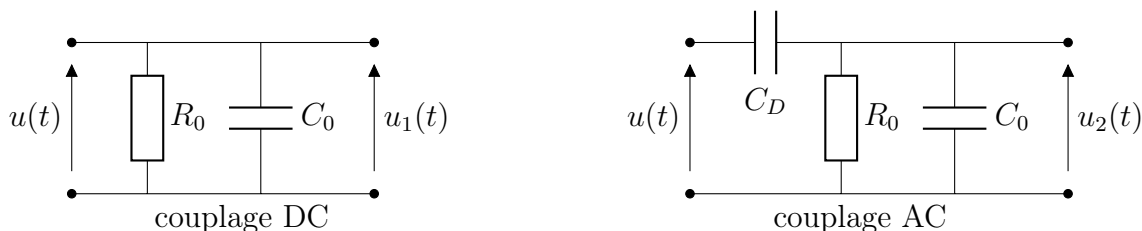
## DM17 – Filtrage

### Exercice 1 – Impédance d'entrée d'un oscilloscope

#### Couplages DC et AC

On applique une tension  $u(t)$  à l'entrée d'un oscilloscope et l'on étudie tout d'abord l'influence du couplage DC (*direct current*) ou AC (*alternating current*) sur le signal affiché.

Sur un oscilloscope analogique, le couplage DC correspond à l'application directe de la tension  $u(t)$  sur les plaques de déviation verticale, après une amplification propre à la sensibilité choisie. Ces plaques se comportent physiquement comme un condensateur de faible capacité  $C_0 = 63 \text{ pF}$  en dérivation avec une grande résistance  $R_0 = 1,0 \text{ M}\Omega$ . Le couplage AC se différencie du couplage DC par l'ajout en série d'un condensateur de capacité  $C_D$ , en amont des plaques de déviation verticale.



RCO

1. Exprimer l'impédance  $Z_{\text{eq}}$  équivalente à l'association en parallèle de la résistance  $R_0$  avec le condensateur  $C_0$ .
2. Exprimer la tension  $u_1$  en fonction de  $u$  dans le cas du couplage DC. Quelle est alors la fonction de transfert  $\underline{H}_{\text{DC}}(j\omega)$  correspondant au couplage DC ?
3. Montrer que la fonction de transfert  $\underline{H}_{\text{AC}}(j\omega) = \underline{u}_2/\underline{u}$  associée au couplage AC s'écrit

$$\underline{H}_{\text{AC}}(j\omega) = \frac{jR_0C_D\omega}{1 + jR_0(C_D + C_0)\omega}.$$

Simplifier la fonction de transfert en considérant  $C_D \gg C_0$  et la mettre sous forme canonique en faisant apparaître la pulsation réduite  $x = \omega/\omega_{\text{AC}}$ , où  $\omega_{\text{AC}}$  est une pulsation caractéristique dont on donnera l'expression.

4. Quelle est la nature du filtre obtenu ? Décrire qualitativement son action sur un signal périodique quelconque de fréquence 1 kHz, comportant une composante continue. On supposera la fréquence de coupure du filtre de l'ordre de la dizaine de hertz.
5. Déterminer l'expression du gain linéaire  $G_{\text{AC}}(x) = |\underline{H}_{\text{AC}}(jx)|$ , ainsi que le gain maximal  $G_{\text{AC,max}}$  en couplage AC. En déduire la fréquence de coupure  $f_{c,\text{AC}}$  correspondante.

Dans le but de déterminer expérimentalement la fréquence de coupure du filtre associé au couplage AC, on réalise maintenant la manipulation suivante : on applique la même tension sinusoïdale  $u(t)$  sur l'entrée 1 (couplage DC) et sur l'entrée 2 (couplage AC) de l'oscilloscope. On fait varier la fréquence de  $u(t)$  jusqu'à obtenir l'oscillogramme de la Fig. 1.

6. Déterminer la fréquence de coupure  $f_{c,\text{AC}}$  en mesurant le rapport des amplitudes  $U_2/U_1$ .
7. Retrouver ce résultat en mesurant le déphasage  $\varphi$  de  $u_2(t)$  par rapport à  $u_1(t)$ .

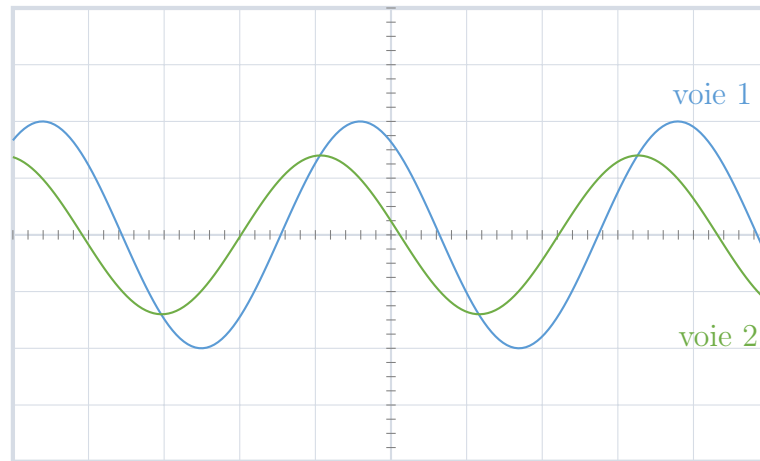


FIGURE 1 – Oscillogrammes de la même tension sinusoïdale  $u(t)$  observée en couplage DC (voie 1) et en couplage AC (voie 2). Les sensibilités verticales sont de  $1,0\text{ V/division}$ . La base de temps est de  $20\text{ ms/division}$ .

8. En déduire la valeur de  $C_D$  et vérifier l'hypothèse  $C_D \gg C_0$ .
9. Le choix du couplage d'entrée AC peut donc perturber l'observation des signaux basse fréquence. L'oscillogramme de la Fig. 2 a été obtenu avec un signal carré envoyé simultanément sur la voie 1 (couplage DC) et sur la voie 2 (couplage AC).  
Comment expliquer la déformation observée avec le couplage AC ?

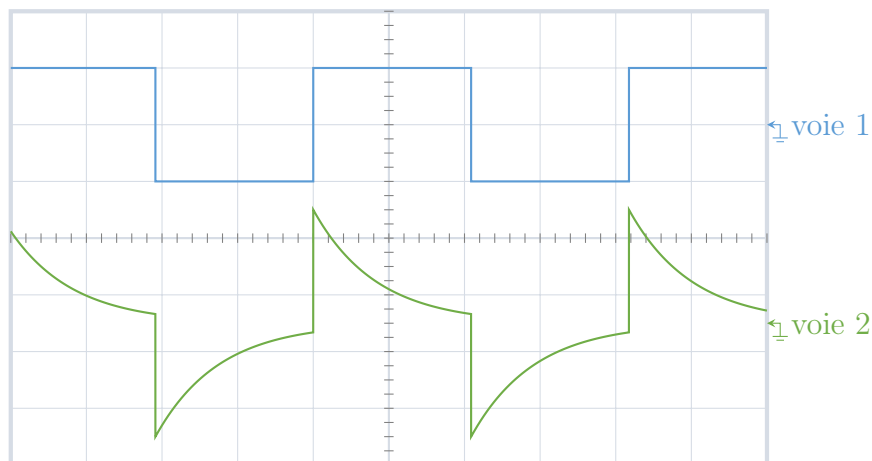
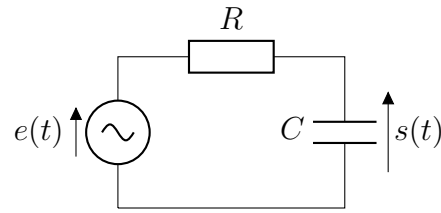


FIGURE 2 – Oscillogrammes de la même tension crête-à-crête observée en couplage DC (voie 1) et en couplage AC (voie 2). Les sensibilités verticales sont de  $2,0\text{ V/division}$ . La base de temps est de  $100\text{ ms/division}$ . Les marques à droite de l'oscillogramme indiquent les zéros des voies.

### Influence de l'impédance d'entrée en couplage DC

On considère le filtre RC représenté ci-contre. Ce filtre est alimenté par un générateur idéal de tension sinusoïdal délivrant la tension d'entrée  $e(t) = E \cos(\omega t)$  d'amplitude  $E > 0$  constante et de pulsation  $\omega$ . On mesure la tension de sortie  $s(t)$  aux bornes du condensateur, en régime sinusoïdal forcé.

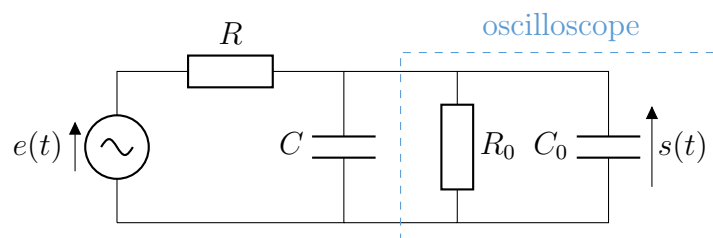


- RCO** 10. Déterminer la fonction de transfert  $\underline{H}(j\omega) = \underline{s}/\underline{e}$  à vide du filtre représenté ci-dessus. La mettre sous forme canonique en faisant apparaître une pulsation caractéristique  $\omega_c$  dont on donnera l'expression. On notera  $x = \omega/\omega_c$  la pulsation réduite.
- RCO** 11. Sur l'annexe 1 **à rendre avec la copie**, représenter les diagrammes de Bode asymptotiques du filtre, puis l'allure des diagrammes réels. On précisera les équations des asymptotes basse et haute fréquence, ainsi que la valeur maximale  $G_{\text{dB,max}}$  du gain en décibel.
- RCO** 12. Déterminer l'expression littérale de la fréquence de coupure  $f_c$  du filtre. Calculer numériquement sa valeur pour (a)  $R = 4,7 \text{ k}\Omega$  et  $C = 6,8 \text{ nF}$ , puis pour (b)  $R = 680 \text{ k}\Omega$  et  $C = 47 \text{ pF}$ .
- RCO** 13. Pour cette question seulement, on soumet le filtre RC à une tension  $e(t)$  de la forme

$$e(t) = E + E \cos(\omega t) + E \cos(10\omega t), \quad \text{avec} \quad \omega = 2\pi \times 5 \text{ kHz}.$$

Déterminer l'expression de la tension  $s(t)$ .

Les tensions d'entrée  $e(t)$  et de sortie  $s(t)$  sont appliquées aux bornes d'un oscilloscope en couplage DC. L'analyse des signaux à l'oscilloscope donne des résultats très voisins de la théorie dans le cas (a), alors que les valeurs de  $G_{\text{dB,max}}$  et  $f_c$  sont différents des prédictions théoriques dans le cas (b). Pour expliquer l'écart constaté, on est amené à prendre en compte l'impédance d'entrée de l'oscilloscope en couplage DC. Le schéma électrique équivalent est représenté ci-dessous.



14. Déterminer la nouvelle fonction de transfert  $\underline{H}'(j\omega)$  du filtre RC branché aux bornes de l'oscilloscope en couplage DC. Donner sa forme canonique en définissant les paramètres nécessaires. La nature du filtre a-t-elle changé ?
15. Préciser les nouvelles expressions du gain maximal en décibel et de la fréquence de coupure. Faire les applications numériques pour les cas (a) et (b). Conclure.

## Annexe 1 – Diagrammes de Bode

